

## Анализ временного отклика в несогласованных многосегментных линиях связи

К. Е. АФАНАСЬЕВ, Е. А. ВЕРШИНИН, С. Н. ТРОФИМОВ

*Кемеровский государственный университет, Россия*

e-mail: keafa@kemsu.ru, keen@kemsu.ru, sergei@kemsu.ru

This work addresses a problem arising in analysis of the multiwire transmission lines — computation of the transient response in mismatched transmission lines. The analysis is carried out by the TVD-scheme of the Godunov method, well-proven for a large class of problems of gas dynamics, theory of shallow water, magnetohydrodynamics.

### Введение

Использование параллельных проводников для передачи сигналов имеет длинную историю и огромное количество приложений в современной технике. С ростом плотности монтажа и быстродействия устройств появилась необходимость моделирования все более сложных и тонких процессов в линиях передачи сигналов. Это привело к усложнению и удорожанию изготовления экспериментальных макетов, необходимости точного и дорогого измерительного оборудования, росту требований к квалификации исследователя-экспериментатора. Широкое распространение вычислительной техники, резкий рост ее производительности, а также возможность быстрого получения вычисленных характеристик для любых параметров проводников, изменяющихся в самых широких диапазонах, сделали численное моделирование несравнимо эффективнее экспериментального. Одной из таких задач является анализ временного отклика в несогласованных многосегментных линиях передачи, искажение сигнала в которых может привести к некорректному поведению радиоэлектронного оборудования. Теоретическим основам и вычислительным моделям посвящено огромное число публикаций, среди них можно выделить работы как зарубежных авторов (А. Джорджевич, Ф. Теше, М. Накхла и др.), так и отечественных (Л.Н. Кечиев, Н.Д. Малютин, Т.Р. Газизов и др.).

### 1. Постановка задачи

Переходные процессы в линиях передачи описываются обобщенными телеграфными уравнениями. Для  $N$  проводников система уравнений имеет вид

$$\begin{aligned} \frac{\partial}{\partial x} U(x, t) &= -R I(x, t) - L \frac{\partial}{\partial t} I(x, t), \\ \frac{\partial}{\partial x} I(x, t) &= -G U(x, t) - C \frac{\partial}{\partial t} U(x, t), \end{aligned} \quad (1)$$

где  $R, L, C, G$  — матрицы параметров проводников. Первая пара слагаемых в системе (1) описывает процесс распространения электромагнитного поля, вторая — взаимодействие между проводниками [1].

Границные условия для  $j$ -го сегмента имеют вид

$$\begin{aligned} U_j^+ &= \left( \prod_{i=1}^j K_i \right) U_0^+, \quad K_i = \frac{Z_i}{Z_i + Z_{i\pm 1}}, \\ U_j^- &= Q_j U_j^+, \quad Q_j = \frac{Z_j - Z_{j\pm 1}}{Z_j + Z_{j\pm 1}}, \end{aligned} \quad (2)$$

где  $K_i$  — коэффициент преломления в  $i$ -м узле;  $Q_j$  — коэффициент отражения в  $j$ -м узле;  $Z_i$  — характеристическое сопротивление  $i$ -го сегмента.

## 2. Метод Годунова

Поскольку процессы в проводных структурах описываются системой гиперболических уравнений, для анализа временного отклика в несогласованной линии может быть использован метод Годунова. В основе метода лежит идея использования точных решений уравнений с кусочно-постоянными начальными данными для построения разностной схемы [2, 3].

Для многопроводной линии без потерь систему (1) можно записать в виде

$$A \frac{\partial u}{\partial t} + B \frac{\partial u}{\partial x} = 0, \quad (3)$$

где  $A$  и  $B$  — матрицы соответствующих коэффициентов, а  $u$  — вектор токов и напряжений.

Система (3) при этом может быть переписана в виде

$$\Lambda^* A \Lambda \frac{\partial u}{\partial t} + \Lambda^* B \Lambda \frac{\partial u}{\partial x} = 0, \quad (4)$$

где  $\Lambda^*$  — транспонированная матрица  $\Lambda$ . Поскольку  $A$  и  $B$  — симметрические матрицы, причем матрица  $A$  — положительно определенная, систему (3) можно привести к каноническому виду с диагональной матрицей  $M$ :

$$\frac{\partial v}{\partial t} + M \frac{\partial v}{\partial x} = 0, \quad (5)$$

где  $v$  — вектор-функция  $v = \Lambda^{-1}u$ . Данная система распадается на  $m^*$  независимых уравнений для отдельных компонент  $v^{(m)}$ :

$$\frac{\partial v^{(m)}}{\partial t} + \mu_m \frac{\partial v^{(m)}}{\partial x} = 0. \quad (6)$$

Компоненты  $v^{(m)}$  носят название римановых инвариантов и сохраняют постоянные значения вдоль характеристик  $dx/dt = \mu_m$ .

### 3. TVD-схема

Для повышения порядка аппроксимации решения и уменьшения нефизичных осцилляций в данной работе применяется TVD-схема. Значения величин на гранях вычислительных ячеек определяются с помощью реконструкции по усредненным значениям в их центрах:

$$v(x) = v_m + \alpha_m x, \quad x \in \left[ -\frac{1}{2}\Delta x, \frac{1}{2}\Delta x \right]. \quad (7)$$

Задачей наклонов  $\alpha_m$  является ограничение роста осцилляций там, где это угрожает устойчивости схемы. TVD-схемы вместо условия сохранения монотонности уменьшают или сохраняют полную вариацию функции. Численная схема является TVD-схемой, если она удовлетворяет свойству

$$TV_0^{k+1} \leq TV_0^k. \quad (8)$$

Это означает, что сумма пространственных вариаций в среднем не должна увеличиваться, т. е. численные осцилляции не могут расти.

Построение схемы высокого порядка точности осуществляется путем сочетания использования кусочно-линейной аппроксимации величин внутри ячеек с алгоритмом двухшагового пересчета по времени [4].

*Предиктор (первый шаг).* Предполагается, что внутри дискретных ячеек для всех значений сеточных функций заданы кусочно-линейные распределения вида

$$v(t^k, x) = v_j^k + \alpha_j^k (x - x_j), \quad x \in \left[ x_j - \frac{1}{2}\Delta x, x_j + \frac{1}{2}\Delta x \right], \quad (9)$$

где  $x_j$  — пространственная координата центра ячейки с номером  $j$ ;  $\alpha_j^k$  — вектор наклонов распределения функции  $v$  внутри ячейки.

Уравнение для учета изменения  $v$  по времени в центре ячейки имеет вид

$$\frac{\hat{v}_j^{k+1} - v_j^k}{\Delta t} + \frac{F(V_j^k + \frac{1}{2}\Delta x \alpha_j^k) - F(V_j^k - \frac{1}{2}\Delta x \alpha_j^k)}{\Delta x} = 0. \quad (10)$$

*Предиктор (второй шаг).* Значение функции  $v$  на промежуточном слое по времени  $t + \frac{1}{2}\Delta t$  вычисляется по формуле

$$v_j^{k+\frac{1}{2}} = \frac{1}{2} (\hat{v}_j^{k+1} + v_j^k). \quad (11)$$

*Коррекtor.* На этом шаге применяется схема (6):

$$\frac{v_j^{k+1} - v_j^k}{\tau} + \mu \frac{V_{j+\frac{1}{2}} - V_{j-\frac{1}{2}}}{h} = 0,$$

где все значения  $V_{j+\frac{1}{2}}$  определяются решением задачи Римана с кусочно-постоянными начальными данными:

$$\begin{cases} V_j^{k+\frac{1}{2}} + \frac{1}{2}\Delta x \alpha_j^k, & x_{j+\frac{1}{2}} < 0, \\ V_{j+1}^{k+\frac{1}{2}} - \frac{1}{2}\Delta x \alpha_{j+1}^k, & x_{j+\frac{1}{2}} > 0. \end{cases} \quad (12)$$

Величины наклонов  $\alpha_m$  модифицируются ограничителями, которые являются некоторыми функциями, задающими и одновременно ограничивающими наклоны  $\alpha_m$  на основе анализа значений  $v_m$  или конечных разностей  $v_{m+1} - v_m$ .

В данной работе многосегментная линия рассматривается как набор однородных сегментов с некоторыми элементами в узлах. Границные условия определяются для каждого сегмента исходя из характеристик элементов в узлах и значений амплитуд сигналов, приходящих из соседних сегментов.

#### 4. Численные результаты

Рассмотрим структуру (рис. 1), которая состоит из двух последовательно соединенных двухпроводных отрезков линий передачи [5].

Параметры отрезка 1:  $l = 0.2$  м;  $L_{11} = L_{22} = 494.6$  нГн/м,  $L_{12} = L_{21} = 63.3$  нГн/м;  $C_{11} = C_{22} = 62.8$  пФ/м,  $C_{12} = C_{21} = -4.9$  пФ/м;  $R_{11} = R_{22} = 0.1$  Ом/м,  $R_{12} = R_{21} = 0.02$  Ом/м;  $G_{11} = G_{22} = 0.1$  См/м,  $G_{12} = G_{21} = -0.01$  См/м.

Параметры отрезка 2:  $l = 0.3$  м;  $L_{11} = L_{22} = 750$  нГн/м,  $L_{12} = L_{21} = 95$  нГн/м;  $C_{11} = C_{22} = 133$  пФ/м,  $C_{12} = C_{21} = -9$  пФ/м;  $R_{11} = R_{22} = 75$  Ом/м,  $R_{12} = R_{21} = 15$  Ом/м;  $G_{11} = G_{22} = 0.1$  См/м,  $G_{12} = G_{21} = -0.01$  См/м.

Параметры элементов цепей:  $R_1 = 50$  Ом,  $R_2 = R_3 = R_4 = 100$  Ом. На один из проводников отрезка подается трапециевидный импульс с параметрами: амплитуда  $E_0 = 2$  В, длительность вершины  $t_d = 6$  нс, время фронта и спада  $t_r = t_f = 1$  нс.

Получены следующие результаты (рис. 2). Из рисунка видны удовлетворительные совпадения форм сигнала и пиковых значений напряжений. Преимущество по сравнению с другими подходами состоит в том, что, возможно, вычисление отклика выполняется в каждом узле окончной и соединительной цепи.

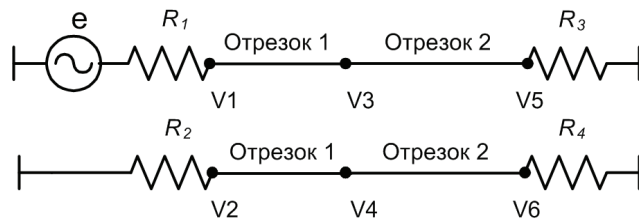


Рис. 1. Структура из двух последовательно соединенных отрезков линий передачи

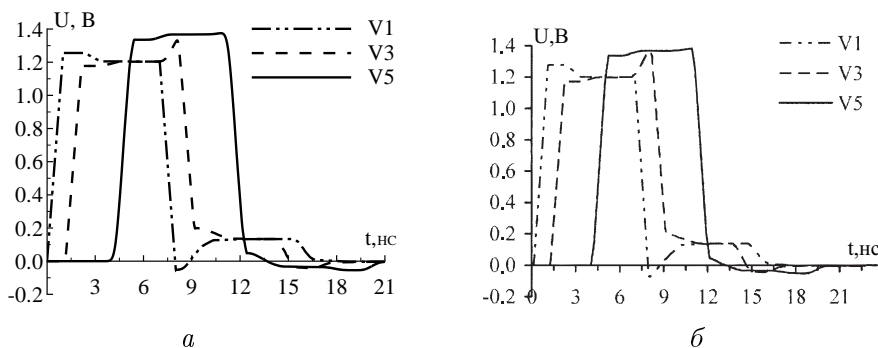


Рис. 2. Результаты для моделирования отклика без потерь: *а* — результат, полученный авторами статьи; *б* — результат из работ [5-7]

## Заключение

Проведено вычисление временного отклика многосегментных, многопроводных линий передачи. Выполнено сравнение полученных результатов с результатами других авторов [5–7]. Отмечено удовлетворительное качественное совпадение форм сигнала. В итоге получен инструмент для исследования временного отклика фрагментов межсоединений с учетом взаимовлияний проводников.

## Список литературы

- [1] ACHAR R., NAKHLA M.S. Simulation of High-Speed Interconnects // Proc. IEEE. 2001. Vol. 89, N 5. P. 693–728.
- [2] Годунов С.К., Забродин А.В. Численное решение многомерных задач газовой динамики. М.: Наука, 1976. 374 с.
- [3] Афанасьев К.Е., Вершинин Е.А. Моделирование помех отражения в многопроводных линиях связи // Вычисл. технологии. 2006. Т. 11, спецвыпуск. С. 117–127.
- [4] Куликовский А.Г., Погорелов Н.В., Семенов А.Ю. Математические вопросы численного решения гиперболических систем уравнений. М.: Физматлит, 2001. 608 с.
- [5] Заболоцкий А.М. Передача импульсных сигналов в многопроводных межсоединениях с неоднородным диэлектрическим заполнением: автореф. дис.... канд. техн. наук. Томск, 2007.
- [6] Газизов Т.Р., Заболоцкий А.М. Модальные искажения импульсного сигнала в многопроводной линии передачи // Матер. 6-й Всерос. научно-практ. конф. “Проблемы информационной безопасности государства, общества и личности”, Томск, 2–4 июня 2004 г. С. 125–128.
- [7] DJORDJEVIC A.R., SARKAR T.K. Analysis of Time Response of Lossy Multiconductor Transmission Line Networks // IEEE Trans. on Microwave Theory and Techniques. 1987. Vol. MTT-35, N 10. P. 898–908.

*Поступила в редакцию 28 марта 2008 г.*